

مقایسه حلل پوشی کاتیون‌های قلیایی خاکی با متانول، اتانول و پروپانول در نیترومتان به روش رزونانس مغناطیسی هسته و تعیین اعداد حلل‌پوشی

نینا علیزاده: دانشکده علوم دانشگاه گیلان

چکیده

روش رزونانس مغناطیسی هسته پروتون ($^1H NMR$) برای بررسی اثر حلل پوشی کاتیون‌های قلیایی خاکی با متانول ($MeOH$), اتانول ($EtOH$) و پروپانول ($PrOH$) در نیترومتان (NM) به عنوان حلل بی اثر بررسی شده است. بدین منظور فرکانس رزونانس پروتون‌های الکل بر حسب تابعی از نسبت مولی حلل به یون فلز با غلظت ثابت یون فلزی معین شده است. میانگین اعداد حلل پوشی کاتیون‌ها، n ، در هر نسبت مولی الکل به یون فلزی، بر اساس نتایج جایی شمیایی بر حسب نسبت مولی محاسبه و بر حسب مقادیر نسبت مولی رسم شده است. از مقدار حد منحنی n بر حسب نسبت مولی، اعداد حلل پوشی کاتیون‌های قلیایی خاکی و تعیین شده است. با توجه به نتایج ارائه شده، در مورد هر یک از الکل‌ها، افزایشی در عدد حلل پوشی از Mg^{2+} تا Sr^{2+} و در مورد هر یون فلزی کاهشی در عدد حلل پوشی از متانول تا پروپانول مشاهده می‌شود. در مورد حلل‌های پروتیک، علاوه بر اثرات بار، تأثیر پیوندهای هیدروژنی هم می‌تواند تأثیرگذار باشد. نقش کاتیون، افزایش قدرت پیوند هیدروژنی به واسطه اثر تعاونی است که ترتیب افزایش پیوند هیدروژنی از Mg^{2+} بسمت Sr^{2+} کم می‌شود.

مقدمه

یکی از مفاهیم اساسی تأثیر حلل در محلول‌های الکترولیت، برهمکنش حلل-یون یا حلل پوشی یونی است. پدیده حلل پوشی به علت وجود نیروهای مختلف مابین حلل و حل شونده است و این برهمکنش‌ها شامل بار-دوقطبی، دوقطبی-دوقطبی-دوقطبی-القایی، پیوند هیدروژنی (وقتی که حلل و جسم حل شونده به ترتیب دهنده و گیرنده این نوع پیوند هستند) و نیروهای لندن می‌باشند [۱]، [۲].

گرچه ثابت دیالکتریک و دوقطبی لحظه‌ای حلل، عوامل مهمی در برهمکنش حلل-حل شونده است، لیکن به تنهایی نمی‌توانند قدرت حلل پوشی یا برهمکنش بین مولکول‌های حلل و حل شونده را نشان دهند. عوامل

واژه‌های کلیدی: حلل پوشی یونی، عدد حلل پوشی، متانول، اتانول، پروپانول، کاتیون‌های قلیایی خاکی، نیترومتان، رزونانس مغناطیسی هسته
پذیرش ۸۶/۹/۱۱ دریافت ۸۵/۰۷/۱۰

مهم مؤثر در حلال پوشی شامل خصوصیات حلال، قدرت دهنگی حلال، ماهیت آنیون همراه، نوع و اندازه یون‌ها و سختی و نرمی حلال و حل شونده است. بر طبق نظریه اسید- باز سخت و نرم، لیگاند و بون‌های فلزی به دو دسته تقسیم بندی شده‌اند که این تقسیم بندی بر اساس تمایل آن‌ها در تشکیل پیوند است. یون‌های فلزی دسته(a) شامل فلزات قلیایی و قلیایی خاکی، عناصر واسطه سبک با اعداد اکسایش بالا و یون هیدروژن است. دسته(b) یون‌های فلزات واسطه سنگین با اعداد اکسایش پایین را شامل می‌شود. بهطور کلی اسیدها و بازهای سخت از نظر اندازه کوچک بوده و دارای قطبش پذیری کمی هستند. بر خلاف آن اسیدها و بازهای نرم، دارای اندازه بزرگ و قطبش پذیری زیادند [۳، ۴].

استفاده از طیف سنجی رزونانس مغناطیسی هسته برای بررسی برهم کنش حلال - حل شونده و تعیین عدد حلال پوشی در سال ۱۹۶۰، دریچه جدیدی را بر روی چنین پژوهش‌هایی باز کرده و منجر به گردآوری قابل ملاحظه‌ای از اطلاعات حلال پوشی شده است [۵، ۶].

به علت اهمیت نقش کاتیون‌های قلیایی و قلیایی خاکی در شیمی، بیوشیمی، بیولوژی و صنعت، بررسی اثرهای حلال در واکنش‌های آن‌ها حائز اهمیت است و به درک مکانیسم بسیاری از فرایندها کمک می‌کند. در این پژوهه حلال پوشی پرکلرات‌های منیزیم، کلسیم و استرانسیم با حلال‌های متانول، اتانول و پروپانول در محلول‌های نیترومتان (به عنوان رقیق کننده) با استفاده از تکنیک رزونانس مغناطیسی هسته پروتون بررسی شده و اعداد حلال پوشی یون‌های Mg^{2+} , Ca^{2+} و Sr^{2+} با حلال‌های فوق محاسبه شده است.

بخش تجربی

مواد شیمیایی

پرکلرات‌های کلسیم، استرانسیم از انحلال کربنات آن‌ها در اسید پرکلریک و پرکلرات منیزیم از انحلال منیزیم فلزی در اسید پرکلریک تهیه و متبلور شد و نمک‌های حاصل چند بار با آب دو بار نقطیر متبلور شد سپس در دمای ۱۵۰ درجه سانتی‌گراد به مدت ۴۸ ساعت خشک شد. سپس، نمونه‌ها در دمای ۲۰۰ تا ۲۵۰ درجه سانتی‌گراد به مدت ۲۴ ساعت در خلاء خشک شد.

متانول(MeOH) و اتانول(EtOH) و پروپانول(PrOH) با درجه خلوص بالا از شرکت مرک(Merck) تهیه شد. نیترومتان به کمک یک ستون ویگروکس(vigrux) به طول ۸۰ سانتی‌متر در فشار پایین نقطیر شد. ۷۰ درصد قسمت میانی نقطیر در آزمایش‌ها مورد استفاده قرار گرفت.

دستگاه

Dستگاه NMR : اندازه گیری رزونانس مغناطیسی هسته پروتون با استفاده از طیف سنج AW-80 Bruker با میدان ۱۸/۷۹ انجام گرفت.

در تمام آزمایش‌ها از پیک نیترومتان(پیک گروه متیل $\delta = 4.36 \text{ ppm}$) به عنوان استاندارد داخلی

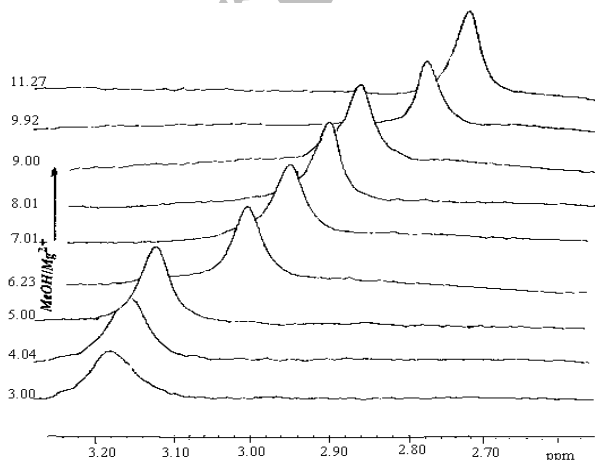
استفاده شد.

روش

برای تهیه محلول‌های لازم برای اندازه‌گیری‌های NMR، نمک‌های پرکلرات در نیترومتان حل شده و محلول $M = 10.00 \times 2$ تهیه شد. سپس به این محلول‌ها مقادیر مناسب وزنی الكل به طوری اضافه شد که غلظت یون فلزی در آن‌ها ثابت بماند. به علت عدم اتحال پرکلرات باریم در نیترومتان حتی در حضور سه برابر نسبت مولی الكل، بررسی حلل پوشی در مورد پرکلرات باریم انجام نگرفت.

نتایج و بحث

برای بررسی حلل پوشی یون‌های Mg^{2+} , Ca^{2+} و Sr^{2+} با متانول (MeOH) در نیترومتان (NM) به عنوان حلل بی‌اثر، طیف‌های NMR یک سری از محلول‌هایی با غلظت‌های ثابت پرکلرات عناصر قلیایی خاکی و غلظت‌های مختلف الكل‌ها تا نسبت مولی الكل‌ها به یون فلزی حدود ۱/۱۵، بررسی شد. نیترومتان با قدرت بازی ضعیف یک عامل حلل پوشی ضعیف تری از الكل‌ها است. عدد دهنگی گوتمن برای نیترومتان ۶/۲، در حالی‌که برای متانول، اتانول و پروپانول به ترتیب ۸/۱۹، ۸/۱۹ و ۸/۱۹ است [۸]. البته نمی‌توان فرض کرد که نیترومتان هیچگونه تأثیری بر روی تعادل حلل پوشی ندارد، لیکن منطقی به نظر می‌رسد که در مقایسه با الكل‌ها، چون قدرت حلل پوشی آن بسیار کوچک است بتوان از نیترومتان بهطور رضایت‌بخشی به عنوان یک رقیق کننده(حلل نسبتاً بی‌اثر) در بررسی حلل پوشی کاتیون‌های قلیایی خاکی با الكل‌ها استفاده کرد. طیف NMR مربوط به تغییرات ناشی از افزایش متانول با نسبت‌های مولی مختلف $\text{MeOH}/\text{Mg}^{2+}$ برای پرکلرات Mg^{2+} در شکل ۱ ارائه شده است.



شکل ۱. طیف NMR پروتون گروه هیدروکسیل متانول در نسبت‌های مولی مختلف Mg^{2+} در $\text{MeOH}/\text{Mg}^{2+}$ در محلول‌های نیترومتان

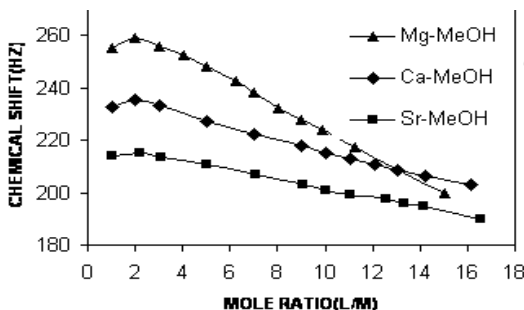
در تمام طیف‌های رزونانس مغناطیسی هسته به دست آمده، سیگنال پروتون نیترومتان و الكلها به اندازه کافی از هم مجزا می‌باشد که بتوان طیف پروتون الكلها را دنبال کرد. با افزایش درنسبت مولی الكلها به یون فلزی، فرکانس رزونانس پروتون گروه هیدروکسیل الكلها به طرف میدان‌های بالاتر جابه جا می‌شود. از آنجا که قدرت یونی محلول، به علت ثابت بودن غلظت یونی ثابت است و تغییرات ویسکوزیته محلول نیز به علت غلظت کم الكلها نسبت به نیترومتان ناچیز است، هر تغییری در جابه جایی شیمیایی پروتون گروه‌های هیدروکسیل الكلها را می‌توان به بر کنش آن با یون فلزی نسبت داد. با به دست آوردن طیف غلظت‌های مختلف از الكلها در نیترومتان در غیاب کاتیون‌های مورد بررسی، تغییر قابل ملاحظه‌ای در جابه جایی شیمیایی مشاهده نشد.

تأثیر تغییرات نسبت مولی متانول به یون فلزی در جابه جایی شیمیایی برای کاتیون‌های منیزیم، کلسیم و استرانسیم در شکل ۲ و نتایج استخراج شده از آن‌ها در جدول ۱ ارائه شده است.

جدول ۱. جابه جایی شیمیایی مشاهده شده (CS) متانول در نسبت‌های مولی متانول به یون فلزی $\text{MeOH}/\text{M}^{2+}$ (MR) در محلول‌های نیترومتان.

$\text{Mg}^{2+}(1.82 \times 10^{-2}\text{M})$		$\text{Ca}^{2+}(1.92 \times 10^{-2}\text{M})$		$\text{Sr}^{2+}(1.82 \times 10^{-2}\text{M})$	
CS	MR	CS	MR	CS	MR
۲۵۵/۰۱	۱/۰۶	۲۳۲/۵۰	۱/۰۱	۲۱۴/۰۰	۱/۰۴
۲۶۰/۹۰	۲/۰۲	۲۳۴/۰۰	۱/۹۸	۲۱۶/۷۰	۲/۱۸
۲۵۵/۹۰	۳/۰۰	۲۳۳/۰۰	۳/۰۳	۲۱۳/۷۰	۳/۱۲
۲۵۴/۳۰	۴/۰۴	۲۲۶/۷۰	۵/۰۰	۲۱۰/۹۰	۵/۰۳
۲۵۰/۰۰	۵/۰۰	۲۲۳/۱۰	۷/۰۱	۲۰۶/۹۰	۷/۰۶
۲۴۲/۳۰	۶/۲۳	۲۱۹/۱۰	۹/۰۱	۲۰۳/۱۰	۹/۱۰
۲۳۵/۰۰	۷/۰۱	۲۱۶/۸۰	۱۰/۰۶	۱۹۹/۹۰	۱۰/۰۶
۲۳۴/۸۰	۸/۰۱	۲۱۴/۴۲	۱۱/۰۶	۱۹۹/۲۰	۱۱/۰۶
۲۳۱/۸۰	۹/۰۰	۲۱۲/۵۱	۱۲/۱۱	۱۹۷/۴۰	۱۲/۶۰
۲۲۳/۸۳	۹/۹۲	۲۱۱/۹۲	۱۳/۰۲	۱۹۵/۸۳	۱۳/۳۲
۲۱۷/۰۷	۱۱/۲۷	۲۰۸/۱۸	۱۴/۲۲	۱۹۴/۵۸	۱۴/۱۰
۱۷۶/۸۲	۱۲/۹۵	۲۰۶/۰۵	۱۶/۱۲	۱۸۹/۶۸	۱۶/۵۶

همان طور که از جابه جایی شیمیایی اولیه پروتون‌های متانول و دامنه تغییرات شیمیایی (یعنی اختلاف بین جابه جایی شیمیایی در نسبت مولی کم و زیاد $\text{MeOH}/\text{M}^{2+}$) مشاهده می‌شود، ترتیب کاهش این تغییرات بصورت $\text{Sr}^{2+} < \text{Ca}^{2+} < \text{Mg}^{2+}$ است. این رفتار یک افزایش انرژی حلال پوشی را با افزایش چگالی بار در مجموعه یاد شده نشان می‌دهد [۷، ۸]. بار نسبتاً زیاد در یون کوچک و سخت Mg^{2+} منجر به برقراری پیوند قوی تر یون - دو قطبی نسبت به یون بزرگتر و نرم Sr^{2+} می‌گردد.



شکل ۲. جابه جایی شیمیایی مشاهده شده (CS) متانول بر حسب نسبت های مولی (MR).

از ترسیم منحنی های جابه جایی شیمیایی بر حسب نسبت مولی که در شکل ۲ نشان داده شده است. شکستی در منحنی، که بتوان از آن عدد حلal پوشی را به دست آورد، مشاهده نمی شود. بنا بر این، از نتایج به دست آمده از رزونانس مغناطیسی هسته برای محاسبه میانگین عدد حلal پوشی (\bar{n}) در هر غلظتی از MeOH (در نسبت های مختلف $\text{MeOH}/\text{M}^{2+}$) به صورت زیر استقاده شد. برای همه محلول ها، حتی در نسبت های مولی زیاد $\text{MeOH}/\text{M}^{2+}$ تنها یک علامت متانول مشاهده شد. بنا بر این، جابه جایی شیمیایی پروتون های MeOH مشاهده شده (δ_{obs})، میانگین فراوانی جابه جایی شیمیایی در دو محیط مختلف (یعنی MeOH در توده محلول و در لایه حلal پوشی) را نشان می دهد. جابه جایی شیمیایی مشاهده شده را می توان به صورت زیر بیان کرد:

$$\delta_{obs} = \delta_b X_b + \delta_f X_f \quad (1)$$

در این معادله X_f و X_b مول های جزئی و δ_f و δ_b به ترتیب جابه جایی شیمیایی مولکول MeOH آزاد و پیوند شده است. از آنجا که:

$$X_b + X_f = 1 \quad (2)$$

رابطه (۱) را می توان به صورت زیر نوشت:

$$\delta_{obs} = X_i \delta_i = (I - X_b) \delta_f + X_b \delta_b \quad (3)$$

با نو آرایی رابطه (۳)، معادله زیر به دست می آید:

$$X_b = \frac{\delta_{obs} - \delta_f}{\delta_b - \delta_f} \quad (4)$$

میانگین عدد حلal پوشی یون های فلزی با MeOH، در هر نسبت مولی از $\text{MeOH}/\text{M}^{2+}$ را می توان به صورت زیر نمایش داد:

$$\bar{n} = \frac{[MeOH]_t - [MeOH]_f}{[M]_t} \quad (5)$$

یا

$$\bar{n} = \frac{[MeOH]_b}{[M]_t} \quad (6)$$

$$\bar{n} = \frac{[MeOH]_t \cdot X_b}{[M]_t} \quad (7)$$

در روابط فوق، $[M]_t$ و $[MeOH]_t$ به ترتیب غلظت کل MeOH و غلظت کل یون فلزی است. $[MeOH]_f$ و $[MeOH]_b$ غلظت پیوند شده و غلظت آزاد متانول است. با جایگزینی رابطه (3) در رابطه (6)، رابطه (8) نتیجه می‌شود:

$$\bar{n} = \frac{(\delta_{obs} - \delta_f)[MeOH]_t}{(\delta_b - \delta_f)[M]_t} \quad (8)$$

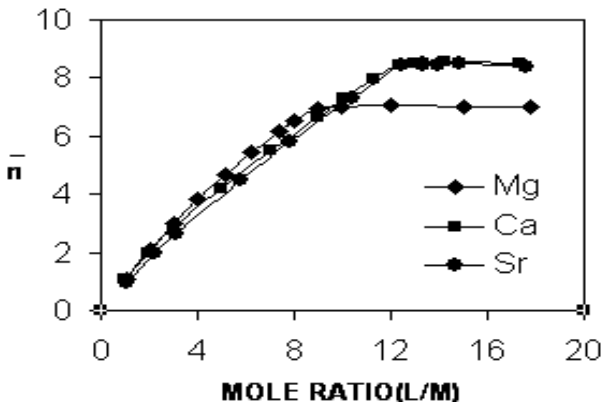
میانگین عدد حلال پوشی برای هر نسبت مولی از $MeOH/M^{2+}$ از رابطه (8) محاسبه می‌گردد. δ_f از طیف NMR پروتون MeOH در محلول نیترومتان به دست می‌آید. همان‌طور که قبل اشاره شد در غیاب کاتیون‌های فلزی، غلظت متانول تأثیر قابل ملاحظه‌ای در محل این پیک‌ها نشان نمی‌دهد. δ_b در مجاورت هریک از یون‌های فلزی از ماکریزم جذب منحنی جابه جایی شیمیایی بر حسب نسبت مولی $MeOH/M^{2+}$ در نسبت مولی صفر به دست می‌آید. مقدار n بر حسب نسبت مولی MeOH به یون فلزی برای یون‌های Mg^{2+} ، Ca^{2+} و Sr^{2+} محاسبه و نتایج در جدول ۲ آورده شده و منحنی‌ها در شکل ۳ ارائه شده است.

جدول ۲. مقادیر محاسبه شده \bar{n} در نسبت‌های مولی مختلف متانول به یون فلزی $MeOH/M^{2+}$ (MR) در محلول‌های نیترومتان.

Mg^{2+}	Ca^{2+}	Sr^{2+}
MR	MR	MR
۱/۰۶	۱/۰۵	۱/۰۴
۲/۰۲	۲/۱۲	۲/۱۸
۳/۰۰	۳/۰۰	۳/۱۲
۴/۰۴	۳/۹۷	۵/۰۳
۵/۰۰	۴/۶۸	۷/۰۶
۶/۲۳	۵/۳۳	۹/۱۰
۷/۰۱	۵/۴۵	۱۰/۰۶
۸/۰۱	۶/۲۰	۱۱/۰۶
۹/۰۰	۶/۶۹	۱۲/۶۰
۹/۹۲	۶/۵۴	۱۳/۳۲
۱۱/۲۷	۶/۶۲	۱۴/۱۵
۱۲/۹۵	۶/۳۵	۱۶/۵۶

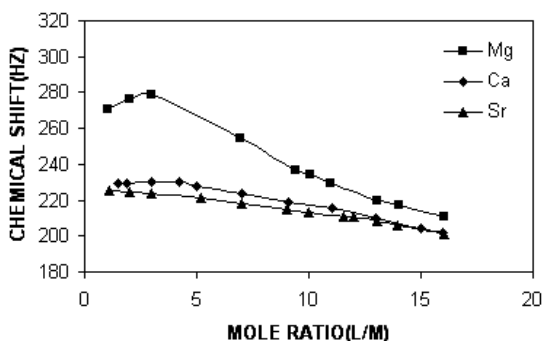
همان‌طور که از منحنی‌ها مشاهده می‌شود، مقدار \bar{n} با افزایش نسبت مولی MeOH به یون فلزی تا حدی از نسبت مولی افزایش می‌یابد و پس از آن تغییر محسوسی در \bar{n} مشاهده نمی‌شود. مقدار \bar{n} حد یا عدد حلال پوشی

یون فلزی Mg^{2+} در متانول برابر ۷ و برای Ca^{2+} و Sr^{2+} حدود ۸/۵ به دست آمده است. جالب توجه است که سرعت به حد رسیدن منحنی n بر حسب نسبت مولی $MeOH$ به یون فلزی در مورد Mg^{2+} به مراتب بیشتر از Sr^{2+} بوده و روند این تغییرات به صورت $Mg^{2+} < Ca^{2+} < Sr^{2+}$ است. این روند، کاهش انرژی حلال پوشی با کاهش چگالی بار را از Sr^{2+} تا Mg^{2+} نشان می‌دهد [۸، ۹].



شکل ۳. کردار مقادیر محاسبه شده n بر حسب نسبت های مولی (MR) $MeOH/M^{2+}$ (MOL).

تأثیر تغییرات نسبت مولی اتانول (EtOH) به یون فلزی در جایه جایی شیمیایی برای کاتیونهای منیزیم، کلسیم و استرانسیم در شکل ۴ آورده شده و نتایج استخراج شده از آنها در جدول ۳ ارائه شده است.



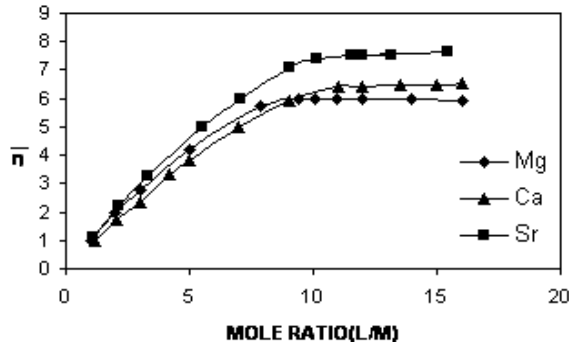
شکل ۴. جایه جایی شیمیایی مشاهده شده (CS) اتانول بر حسب نسبت های مولی مختلف $EtOH/M^{2+}$ (MR).

جدول ۳. جایه جایی شیمیایی مشاهده شده (CS) اتانول در نسبت های مولی اتانول به یون فلزی (CS) در محلول های نیترومتان.

$Mg^{2+}(1.93 \times 10^{-2} M)$		$Ca^{2+}(1.91 \times 10^{-2} M)$		$Sr^{2+}(1.87 \times 10^{-2} M)$	
MR	CS	MR	CS	MR	CS
۱/۰۶	۲۷۰/۵۰	۲/۹۸	۲۲۹/۸۰	۱/۱۰	۲۲۵/۵۰
۲/۰۰	۲۷۶/۵۰	۴/۲۲	۲۲۹/۹۰	۲/۰۲	۲۲۴/۴۰
۳/۰۰	۲۷۸/۵۰	۵/۰۲	۲۲۹/۷۰	۳/۰۱	۲۲۳/۷۰
۶/۹۶	۲۵۴/۷۰	۶/۹۹	۲۲۵/۹۰	۵/۲۱	۲۱۹/۶۰
۹/۴۴	۲۳۶/۸۰	۹/۰۷	۲۲۲/۰۰	۷/۰۴	۲۱۷/۳۰
۱۰/۰۸	۲۳۴/۳۰	۱۱/۰۲	۲۱۹/۲۰	۹/۰۲	۲۱۴/۸۰
۱۰/۹۷	۲۲۷/۸۰	۱۳/۰۱	۲۱۲/۹۰	۱۰/۰۰	۲۱۳/۵۰
۱۳/۰۵	۲۱۹/۹۷	۱۵/۰۰	۲۰۴/۴۳	۱۱/۵۸	۲۱۱/۰۰

مشابه با حالت قبل، از جابه جایی شیمیایی اولیه پروتون گروه هیدروکسیل اتانول و دامنه تغییرات جابه جایی شیمیایی ترتیب کاهش بصورت $\text{Sr}^{2+} < \text{Ca}^{2+} < \text{Mg}^{2+}$ مشاهده می‌شود. در این ارتباط، حلال پوشی کاتیونهای قلیایی خاکی با اتانول نیز مشابه متانول است.

مقدار n محاسبه شده بر حسب نسبت مولی برای یون‌های Mg^{2+} , Ca^{2+} و Sr^{2+} در جدول ۴ و منحنی‌های مربوطه در شکل ۵ وردیده است.



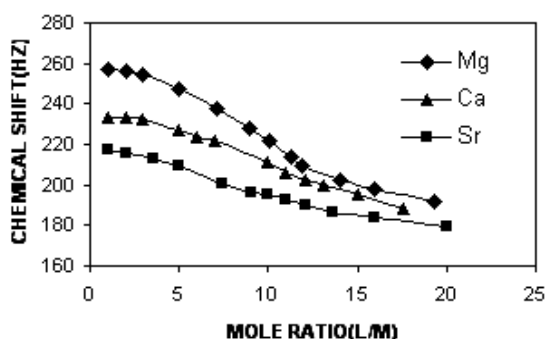
شکل ۵. کردار مقادیر محاسبه شده n بر حسب نسبت‌های مولی $\text{EtOH}/\text{M}^{2+}$ (MR).

جدول ۴. مقادیر محاسبه شده n در نسبت‌های مولی مختلف اتانول به یون فلزی $\text{EtOH}/\text{M}^{2+}$ (MR) در محلول‌های نیترومتان.

Mg^{2+} MR	Ca^{2+}		Sr^{2+}	
	MR	n	MR	n
1/10	0.98	1.10	1/10	1.10
2/10	1.96	2.05	2/10	2.02
3/10	3.00	2.98	3/10	2.93
4/10	4.63	4.22	4/10	4.23
5/10	5.39	5.02	5/10	5.21
6/10	5.70	5.99	6/10	6.04
7/10	5.85	6.07	7/10	6.00
8/10	5.69	6.02	8/10	5.58
9/10	5.75	6.01	9/10	6.04
10/10	5.90	6.00	10/10	6.02
11/10	5.35	-	11/10	-

همان طورکه در منحنی‌ها مشاهده می‌شود، مقدار n با افزایش نسبت مولی $\text{EtOH}/\text{M}^{2+}$ تا یک حدی از نسبت مولی افزایش یافته و پس از آن تغییر محسوسی در n مشاهده نمی‌شود. مقدار n حد یا عدد حلal پوشی این یون فلزی برای Mg^{2+} , Ca^{2+} , Sr^{2+} و در مورد Mg^{2+} , Ca^{2+} , Sr^{2+} به دست آمد.

تأثیر تغییرات نسبت مولی پروپانول (Pr_3OH) به یون فلزی در جابه جایی شیمیایی برای کاتیونهای منیزیم، کلسیم و استرانسیم در شکل ۶ آورده شده و نتایج استخراج شده از آن‌ها در جدول ۵ ارائه شده است.

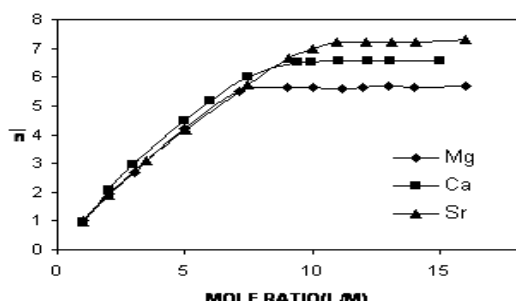


شکل ۶. جابه جایی شیمیایی مشاهده شده (CS) پروپانول بر حسب نسبت های مولی PrOH/M²⁺(MR).

جدول ۵. جابه جایی شیمیایی مشاهده شده (CS) پروپانول در نسبت های مولی پروپانول به یون فلزی (MR) در محلول های نیترومتان.

<u>Mg²⁺ (1.28×10⁻²M)</u>	<u>Ca²⁺ (1.71×10⁻²M)</u>		<u>Sr²⁺ (2.16×10⁻²M)</u>		
	CS	MR	CS	MR	
۲۶۲/۲۰	۱/۰۰	۲۳۳/۳۰	۰/۹۹	۲۱۹/۷۰	۰/۹۹
۲۵۹/۴۰	۲/۰۱	۲۳۳/۵۰	۲/۰۱	۲۱۵/۸۰	۲/۰۳
۲۵۰/۲۰	۲/۹۹	۲۳۰/۵۰	۲/۹۳	۲۱۳/۱۰	۲/۵۶
۲۴۷/۲۰	۴/۹۸	۲۲۷/۲۰	۴/۹۷	۲۱۰/۴۰	۵/۰۳
۲۳۹/۶۹	۷/۱۴	۲۲۶/۵۰	۶/۰۰	۲۰۰/۹۰	۷/۴۶
۲۲۸/۱۰	۸/۹۸	۲۱۵/۰۰	۷/۰۰	۱۹۶/۵۰	۹/۰۷
۲۲۱/۹۰	۱۰/۰۲	۲۱۱/۰۰	۹/۹۶	۱۹۵/۲۰	۹/۹۸
۲۱۳/۷۲	۱۱/۲۸	۲۰۹/۰۰	۱۱/۰۱	۱۹۲/۷۴	۱۰/۹۷
۲۰۹/۷۲	۱۲/۹۷	۲۰۵/۰۰	۱۲/۱۳	۱۸۹/۸۴	۱۲/۰۸
۲۰۲/۲۸	۱۴/۰۰	۲۰۰/۰۰	۱۳/۰۶	۱۸۹/۶۶	۱۳/۱۲
۱۹۸/۳۴	۱۶/۰۰	۱۹۵/۰۰	۱۵/۰۰	۱۸۳/۸۰	۱۶/۰۰
۱۹۲/۰۲	۱۹/۳۴	۱۹۰/۰۰	۱۷/۰۰	۱۷۹/۸۰	۲۰/۰۰

مقدار n محاسبه شده بر حسب نسبت مولی برای یونهای Mg^{2+} , Ca^{2+} , Sr^{2+} در جدول ۶ و منحنی های مربوطه در شکل ۷ آورده شده است. مقدار n با افزایش نسبت مولی PrOH/M²⁺ تا یک حدی از نسبت مولی افزایش یافته و پس از آن تغییر محسوسی در n مشاهده نمی شود. مقدار n حد یا عدد حلal پوشی یون فلزی برای Ca^{2+} , Mg^{2+} , Sr^{2+} برابر $5/6$ و در مورد Sr^{2+} , $7/2$ است.

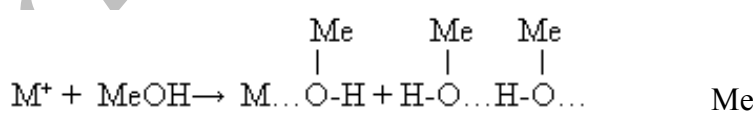


شکل ۷. کردار مقادیر محاسبه شده n بر حسب نسبت های مولی PrOH/M²⁺(MR).

جدول ۶. مقادیر محاسبه شده n^- در نسبت‌های مولی مختلف پروپانول به یون فلزی $\text{PrOH}/\text{M}^{2+}$ (MR) در محلول‌های نیترومتان.

Mg^{2+}	Ca^{2+}	Sr^{2+}			
MR	n	MR	n	MR	n
۱/۰۰	۱/۰۰	۰/۹۹	۰/۹۹	۰/۹۹	۰/۹۹
۲/۰۱	۱/۹۵	۲/۰۱	۲/۱۰	۲/۰۳	۱/۸۸
۲/۹۹	۲/۶۸	۲/۹۷	۲/۹۷	۳/۵۲	۳/۱۰
۴/۹۸	۴/۲۱	۴/۹۷	۴/۳۰	۵/۰۳	۴/۱۸
۷/۱۴	۵/۵۰	۶/۰۰	۵/۲۰	۷/۴۶	۵/۷۵
۸/۹۸	۵/۸۶	۷/۰۰	۶/۰۰	۹/۰۷	۶/۶۵
۱۰/۰۲	۵/۹۰	۹/۳۷	۶/۸۱	۹/۹۸	۷/۱۹
۱۰/۲۸	۵/۷۰	۹/۹۶	۶/۶۵	۱۰/۹۷	۷/۳۸
۱۱/۹۷	۵/۵۶	۱۱/۰۱	۶/۸۴	۱۲/۰۸	۷/۲۹
۱۲/۹۶	۵/۷۹	۱۲/۱۳	۶/۳۷	۱۳/۱۲	۷/۸۶
۱۴/۰۰	۵/۵۰	۱۳/۱۰	۶/۹۷	۱۴/۰۱	۷/۲۱
۱۶/۰۰	۵/۵۸	۱۵/۰۰	۶/۹۹	۱۶/۰۰	۷/۴۰

در مرور حلال‌های پروتیک، علاوه بر اثرات بار پیوند هیدروژنی هم می‌تواند مطرح باشد [۷]. در این ارتباط، حلال پوشی کاتیون‌های قلیایی با متانول به صورت زیر نشان داده شده است.

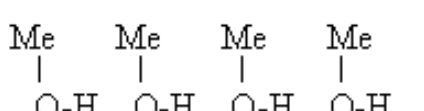


واحدهای $\text{H} \cdots \overset{\text{Me}}{\underset{|}{\text{O}}} \text{H} \cdots \text{H} \cdots \overset{\text{Me}}{\underset{|}{\text{O}}} \text{H}$ نشان‌دهنده حلال پوشی یون فلزی با اتم اکسیژن متانول است، که به دلیل ایجاد



پیوند هیدروژنی با مولکول دیگری از متانول به شکل $\text{M}^+ \cdots \overset{\text{Me}}{\underset{|}{\text{O}}} \text{H} \cdots \overset{\text{Me}}{\underset{|}{\text{O}}} \text{H} \cdots \overset{\text{Me}}{\underset{|}{\text{O}}} \text{H}$ در محلول وجود دارد.

در این واحد، پیوند هیدروژنی علت اصلی جایه‌جایی است. نقش کاتیون، افزایش قدرت پیوند هیدروژنی به واسطه اثر تعاضی (Cooperative effect) است. در متانول خالص، واحد ساختاری اصلی شامل پلیمرهای خطی به صورت زیر است.





جایگزینی واحد $\text{O}-\text{H} \dots \text{Me}^+$ (کاتیون قلیایی خاکی)، تأثیر ضعیفی بر قدرت پیوند هیدروژنی دارد [۱۱]. لیکن در مورد M^{2+} (کاتیون های قلیایی خاکی)، که در این طرح بررسی شده، تأثیر بیشتری بر قدرت پیوند هیدروژنی دارد و ترتیب افزایش قدرت پیوند هیدروژنی به صورت $\text{Mg}^{2+} > \text{Sr}^{2+} > \text{Ca}^{2+}$ است. باید توجه داشت، اگر چه در حلال های پروتونی نظیر الکل ها حلال پوشی آنیون ها عمدتاً از طریق پیوند هیدروژنی صورت می گیرد، لیکن حلال پوشی آنیون پرکلرات با متانول ضعیف است. در واقع پیوند هیدروژنی بین متانول و پرکلرات به مراتب ضعیف تر از پیوند هیدروژنی بین متانول و متانول است (پیوند هیدروژنی قوی بین مولکول های متانول برای ایجاد پیوند ضعیف متانول-پرکلرات شکسته نمی شود). همان طور که در شکل ۲ مشاهده می شود، در نسبت های مولی کم MeOH/M^{2+} ، که مقدار متانول نسبت به یون فلزی کم است، وجود کاتیون M^{2+} باعث افزایش قدرت پیوند هیدروژنی می شود و درنتیجه جابه جایی شیمیایی در میدان های پایین (فرکانس بالا) انقاد می افتد. در نسبت های مولی زیاد MeOH/M^{2+} ، که در محلول مولکول های متانول بیشتری وجود دارند، احتمال تشکیل پیوند هیدروژنی مولکول های متانول افزایش می یابد و درنتیجه پیوند هیدروژنی ضعیفتر می شود. به عبارت دیگر، به علت مشارکت کمتر کاتیون های M^{2+} از قدرت پیوند هیدروژنی کاسته می شود. بنا بر این، در این حالت پروتون گروه هیدروکسیل الکل ها در میدان بالاتری (فرکانس پایین تر) رزونانس می کند.

به منظور مقایسه مقادیر n^- محاسبه شده برای کاتیون های قلیایی خاکی در متانول، اتانول و پروپانول نتایج در جدول ۷ ارائه شده است.

با توجه به نتایج ارائه شده از جدول در مورد هر یک از الکل ها، افزایشی در عدد حلال پوشی از Mg^{2+} تا Sr^{2+} مشاهده می شود. با افزایش اندازه کاتیون میزان حلال پوشی و در نتیجه عدد حلال پوشی نسبت افزایش می یابد.

در مورد هر یون فلزی کاهشی در عدد حلال پوشی از متانول تا پروپانول مشاهده می شود، در مورد متانول صلابت ساختمانی به علت کوتاه بودن زنجیر هیدروکربن، بیشتر از اتانول و پروپانول است در نتیجه کاتیون های بزرگتر به میزان کمتری در حلال های با زنجیر هیدروکربن بلندتر نفوذ می نمایند. در مورد کاتیون Sr^{2+} به علت بزرگتر بودن اندازه کاتیون نسبت به Ca^{2+} و Mg^{2+} ، میزان حلال پوشی و در نتیجه عدد حلال پوشی نسبتاً کاهش می یابد.

نقش ثابت دی الکترویک حلال در حلال پوشی حائز اهمیت است [۱۲]، [۱۳]. در مقایسه حلال پوشی کاتیون های قلیایی خاکی یا متانول، اتانول و پروپانول با کاهش ثابت دی الکترویک از متانول تا پروپانول، به ترتیب اندرکنش الکترو استاتیکی حلال های مذکور با کاتیون های قلیایی خاکی کاهش می یابد.

جدول ۷ . n^- محاسبه شده برای کاتیون های قلیایی خاکی در متانول، اتانول و پروپانول

یون فلزی	- متانول n^-	- اتانول n^-	- پروپانول n^-
Mg ²⁺	۷	۶	۵/۶
Ca ²⁺	۸/۵	۶/۵	۶/۴
Sr ²⁺	۸/۵	۷/۵	۷/۴

منابع

1. J. P. Toth, G. Ritzhaupt and J. P. Delvin, J. Phys. Chem, vol. 85 (1981) 1387.
2. H. Doe, T. Kitagawa and K. Sasaba, J. Phys. Chem, vol. 88 (1984) 3341.
3. B. O. Strasser and A. I. Popov, J. Am. Chem. Soc, vol. 107 (1985) 7921.
4. A. I. Popov, J. Solution Chem, vol. 18 (1989) 759.
5. H.J. Chuang, L.L. Soong, G. E. Leroi and A.I. Popov, J. Solution Chem, vol. 18 (1989) 759.
6. D. W. James and P. G. Gutler, Aust. J. Chem., vol. 39 (1986) 137.
7. S.E. Jackson, E.A. Smith and M. C.R. Symons, Faraday Discuss. Chem. Soc., 4 (1978) 173.
8. P. A. Mosier- Boss and A. I. Popov, J. Am. Chem. Soc, vol. 107 (1985) 6168.
9. Popvych and R.P. T. Tomkins, « Nonaqueous Solvation Chemistry », John Wiley, New York (1981).
10. N. Alizadeh, the third Congress of Chemistry of Islamic Azad university in Cooperation with Louis Pasteur university 10 & 11 April (2002) B-52.
11. J. Zagal. Coor. Chem., Rev. 89, (1992) 119.
12. N. Alizadeh and M.K. Amini, Iranian J. Chem. & Chem. Eng, Vol. 20 (2001) 1,15.
13. V. Gutmann and E. Wychera, Inorg. Nucl. Chem. Lett., 2 (1966) 257.
14. N. Alizadeh, J. Sci., Az-Zahra Univ. 14 (2001)39.